

ЛИТЕРАТУРА

1. **Matsch L., Rice W.** An asymptotic solution for laminar flow of an incompressible fluid between rotating disks.— Trans. ASME. Ser. E. J. Appl. Mech., 1968, vol. 35, N 3.
2. **Мисюра В. И.** Ламинарное течение несжимаемой жидкости между двумя вращающимися дисками.— Изв. АН СССР. МЖГ, 1972, № 5.
3. **Kreith F., Viviani H.** Laminar source flow between two parallel coaxial disks rotating at different speeds.— Trans. ASME. Ser. E. J. Appl. Mech., 1967, vol. 34, N 3.
4. **Pearson C. E.** Numerical solution for time dependent viscous flow between two rotating coaxial disks.— J. Fluid Mech., 1965, vol. 24, pt 4.
5. **Barret K. E.** Numerical study of the flow between rotating coaxial discs.— J. Appl. Math. and Phys., 1975, vol. 26, N 6.
6. **Adams R., Rice W.** Experimental investigation of the flow between co-rotating disks.— Trans. ASME. Ser. E. J. Appl. Mech., 1970, vol. 37, N 3.
7. **Мисюра В. И.** Экспериментальное исследование течения несжимаемой жидкости между двумя вращающимися дисками.— Изв. высш. учеб. заведений. Энергетика, 1977, № 5.
8. **Тихонов А. Н., Арсенин В. И.** Методы решения некорректных задач. М.: Наука, 1979.
9. **Самарский А. А., Николаев Е. С.** Методы решения сеточных уравнений. М.: Наука, 1978.
10. **Boyd K. E., Rice W.** Laminar inward flow of an incompressible fluid between rotating disks with full peripheral admission.— Trans. ASME. Ser. E. J. Appl. Mech., 1968, vol. 35, N 2.
11. **Шляев М. И., Арбузов В. Н.** Начальный гидродинамический участок течения жидкости между вращающимися дисками.— В кн.: Методы гидроаэромеханики в приложении к некоторым технологическим процессам. Томск: изд. Томск. ун-та, 1977.

УДК 532.51 + 532.62

СТАЦИОНАРНЫЕ ДЛИННЫЕ ВОЛНЫ В ЖИДКОЙ ПЛЕНКЕ НА НАКЛОННОЙ ПЛОСКОСТИ

Ю. А. Бувич, С. В. Кудымов

(Свердловск)

Нелинейные уравнения, описывающие волновое течение тонкой жидкой пленки, получают обычно при помощи дополнительного предположения о характере распределения продольной компоненты скорости по толщине пленки. Такой подход реализован при использовании системы двух уравнений для расхода жидкости и отклонения толщины пленки от значения, соответствующего неволновому ламинарному течению, в [1—3]. В [4—6] единственное эволюционное уравнение для толщины пленки также получается при помощи метода типа обычного метода Кармана — Польшаузена. При этом неизбежно возникает вопрос о пределах применимости получаемых уравнений и о допустимой ими точности описания волнового процесса. Для ответа на этот вопрос необходимо, очевидно, использовать прямые методы вывода эволюционного уравнения, предполагающие одновременное определение профиля скорости в пленке [7—9]. Ниже это сделано при небольших пленочных числах Рейнольдса для течения по наклонной плоскости (рассматривавшегося ранее в [6, 10, 11]). Одно из полученных уравнений применено к исследованию слабонелинейных стационарных бегущих волн. В отличие от прежних исследований стационарных режимов все параметры таких волн определены однозначно.

1. Течение в пленке. Введем безразмерные переменные и параметры

$$(1.1) \quad t = \frac{u_0}{\lambda} t', \quad x = \frac{x'}{\lambda}, \quad y = \frac{y'}{h_0}, \quad \begin{cases} \{v_x\} \\ \{v_y\} \end{cases} = \frac{1}{u_0} \begin{cases} \{v'_x\} \\ \{v'_y\} \end{cases},$$

$$\varphi = \frac{h - h_0}{h_0}, \quad p = \frac{\text{Re}}{\rho u_0^2} p', \quad \text{Re} = \frac{u_0 h_0}{\nu}, \quad \varepsilon = \frac{h_0}{\lambda},$$

$$T = \frac{3\varepsilon^3 \text{We}}{\cos \alpha}, \quad \text{We} = \frac{\sigma}{\rho g h_0^2}, \quad u_0 = \left(\frac{\cos \alpha}{3} \frac{\sigma}{\nu} \right)^{1/3} Q^{2/3}, \quad h_0 = \left(\frac{3}{\cos \alpha} \frac{\nu Q}{g} \right)^{1/3}.$$

Здесь штрихами обозначены соответствующие размерные переменные; α — угол наклона плоскости к вертикали; λ — характерный про-

дольный масштаб; под u_0 и h_0 понимаются средняя скорость и толщина пленки в неволновом режиме. Уравнения, определяющие движение, в переменных (1.1) запишутся в виде

$$(1.2) \quad \varepsilon \operatorname{Re} \left(\frac{\partial v_x}{\partial t} + v_x \frac{\partial v_x}{\partial x} - \int_0^y \frac{\partial v_x}{\partial x} dy \frac{\partial v_x}{\partial y} \right) = \frac{\partial^2 v_x}{\partial y^2} + \varepsilon^2 \frac{\partial^2 v_x}{\partial x^2} - \\ - \varepsilon \frac{\partial p}{\partial x} + 3 \varepsilon \operatorname{Re} \left(\frac{\partial v_y}{\partial t} + v_x \frac{\partial v_y}{\partial x} - \int_0^y \frac{\partial v_x}{\partial x} dy \frac{\partial v_y}{\partial y} \right) = \\ = \frac{\partial^2 v_y}{\partial y^2} + \varepsilon^2 \frac{\partial^2 v_y}{\partial x^2} - \frac{\partial p}{\partial y} - 3 \operatorname{tg} \alpha, \quad \frac{\partial v_y}{\partial y} = -\varepsilon \frac{\partial v_x}{\partial x}.$$

Граничные условия к (1.2) имеют вид при $y = 0$

$$(1.3) \quad v_x = v_y = 0;$$

при $y = 1 + \varphi$

$$(1.4) \quad \left(\frac{\partial v_x}{\partial y} + \varepsilon \frac{\partial v_y}{\partial x} \right) \left[1 - \varepsilon^2 \left(\frac{\partial \varphi}{\partial x} \right)^2 \right] - 4 \varepsilon^2 \frac{\partial v_x}{\partial x} \frac{\partial \varphi}{\partial x} = 0, \\ - p \left[1 + \varepsilon^2 \left(\frac{\partial \varphi}{\partial x} \right)^2 \right] - 2 \varepsilon \frac{\partial v_x}{\partial x} \left[1 - \varepsilon^2 \left(\frac{\partial \varphi}{\partial x} \right)^2 \right] - 2 \varepsilon \left(\frac{\partial v_x}{\partial y} + \varepsilon \frac{\partial v_y}{\partial x} \right) \frac{\partial \varphi}{\partial x} = \\ = \frac{T}{\varepsilon} \left[1 + \varepsilon^2 \left(\frac{\partial \varphi}{\partial x} \right)^2 \right]^{-1/2} \frac{\partial^2 \varphi}{\partial x^2}, \quad v_y = \varepsilon \left(\frac{\partial \varphi}{\partial t} + v_x \frac{\partial \varphi}{\partial x} \right).$$

Дополнительно будем использовать следующее следствие уравнения неразрывности:

$$(1.5) \quad \frac{\partial \varphi}{\partial t} + \frac{\partial}{\partial x} \int_0^{1+\varphi} v_x dy = 0.$$

Обычно уравнение (1.5) рассматривается вместе с проинтегрированным по толщине пленки первым уравнением из (1.2); иногда интеграл от v_x исключается из этой системы двух уравнений. В любом случае нужны сведения о зависимости v_x от y .

Ниже считаем параметр длинноволности ε малым и решаем задачу (1.2)–(1.4) методом малого параметра. Для этого необходимо взять $\varepsilon \operatorname{Re} \ll 1$, т. е. число Рейнольдса не должно быть слишком большим. Величина φ и параметры $\varepsilon \operatorname{tg} \alpha$ и T могут иметь в общем случае порядок единицы, что позволяет рассматривать течения жидкостей с высоким поверхностным натяжением по плоскостям, слабо наклоненным к горизонтальной, когда значительный вклад в волнообразование могут вносить гравитационные волны. (Например, для воды при $\cos \alpha \sim 1$ и $\operatorname{Re} \sim 1$ имеем $T \sim 10^4 \varepsilon^3$, так что для реальных длинных волн параметр T вовсе не обязательно мал.)

Полагая

$$\begin{Bmatrix} v_x \\ v_y \end{Bmatrix} = \sum_{n=0}^{\infty} \varepsilon^n \begin{Bmatrix} v_x^{(n)} \\ v_y^{(n)} \end{Bmatrix}, \quad p = \frac{p^*}{\varepsilon} + \sum_{n=0}^{\infty} \varepsilon^n p_n,$$

получаем решение следующей из (1.2)–(1.4) задачи нулевого приближения:

$$(1.6) \quad v_x^{(0)} = \left(3 + T \frac{\partial^3 \varphi}{\partial x^3} \right) \left(1 + \varphi - \frac{y}{2} \right) y, \quad v_y^{(0)} = 0, \\ p^* = -T \frac{\partial^2 \varphi}{\partial x^2}, \quad p_0 = 3 \operatorname{tg} \alpha (1 + \varphi - y).$$

Учитывая в (1.2)–(1.4) члены порядка ε и используя (1.6), получаем и решаем задачу первого приближения. Здесь выпишем только выраже-

ние для $v_x^{(1)}$:

$$(1.7) \quad v_x^{(1)} = - \left[3 \operatorname{tg} \alpha \frac{\partial \varphi}{\partial x} \eta + \operatorname{Re} \sum_{i=2}^5 \frac{V_i}{i} \eta^i \right] y + \\ + \frac{3}{2} \operatorname{tg} \alpha \frac{\partial \varphi}{\partial x} y^2 + \operatorname{Re} \sum_{i=2}^5 \frac{V_i}{i(i+1)} y^{i+1}.$$

В (1.7) введены следующие функции φ и ее производных:

$$(1.8) \quad V_2 = \frac{\partial F}{\partial t}, \quad V_3 = \frac{1}{2} \left(H \frac{\partial F}{\partial x} - T \frac{\partial^4 \varphi}{\partial t \partial x^3} \right), \\ V_4 = -\frac{1}{3} T G, \quad V_5 = \frac{1}{12 \eta} T G, \quad \eta = 1 + \varphi, \\ F = 3\varphi + T \frac{\partial^3 \varphi}{\partial x^3} \eta, \quad H = \left(3 + T \frac{\partial^3 \varphi}{\partial x^3} \right) \eta, \quad G = H \frac{\partial^4 \varphi}{\partial x^4}.$$

Выражения для $v_x^{(0)}$ и $v_x^{(1)}$ в (1.6), (1.7) определяют профиль скорости в пленке в первом приближении по параметру длинноволности. Этот профиль весьма существенно отличается от обычно постулируемого параболического.

2. Эволюционные уравнения. Вычисляя теперь интеграл в (1.5), имеем

$$(2.1) \quad \frac{\partial \varphi}{\partial t} + \frac{\partial}{\partial x} \left[\left(1 + \frac{1}{3} T \frac{\partial^3 \varphi}{\partial x^3} \right) \eta^2 \right] - \varepsilon \frac{\partial}{\partial x} \left[\operatorname{tg} \alpha \frac{\partial \varphi}{\partial x} \eta^3 + \right. \\ \left. + \operatorname{Re} \left(\frac{5}{24} V_2 + \frac{3}{20} V_3 \eta + \frac{7}{60} V_4 \eta^2 + \frac{2}{21} V_5 \eta^3 \right) \eta^4 \right] = 0,$$

причем величины V_i определены в (1.8).

Ограничиваясь исследованием слабонелинейных волн ($\varphi \ll 1$), из (2.1) легко получить разные частные варианты эволюционного уравнения. При этом очень важно сразу же учитывать соотношение между малыми параметрами ε и φ . Например, если $\varepsilon \operatorname{Re} \ll \varphi^2$, то при $\varepsilon \operatorname{tg} \alpha \sim 1$ и $T \sim 1$, заменяя в членах высшего порядка в (2.1) производную $\partial/\partial t$ на $-3\partial/\partial x$ в соответствии с линеаризованной формой (2.1) получим

$$(2.2) \quad \frac{\partial \varphi}{\partial t} + 3(1 + \varphi)^2 \frac{\partial \varphi}{\partial x} + \frac{\partial}{\partial x} \left[(1 + 3\varphi + 3\varphi^2) \left(\frac{1}{3} T \frac{\partial^3 \varphi}{\partial x^3} - \varepsilon \operatorname{tg} \alpha \frac{\partial \varphi}{\partial x} \right) \right] + \\ + \varepsilon \operatorname{Re} \left(\frac{5}{24} \frac{\partial^2 \varphi}{\partial x^2} + \frac{15}{56} T \frac{\partial^5 \varphi}{\partial x^5} \right) = 0.$$

Но полученные уравнения неприменимы, вообще говоря, при $\varepsilon \operatorname{Re} \sim \varphi$. Действительно, использование (2.2) с учетом членов третьего порядка по φ в этом случае означало бы превышение точности. Более того, в этом случае нет гарантии, что члены порядка $(\varepsilon \operatorname{Re})^2 \varphi$, которые не учитываются в (2.1), на самом деле меньше оставленных там членов третьего порядка по φ и нулевого по ε . Указанные простые соображения в исследованиях пленочных течений весьма часто игнорируются.

В случае, когда $\varepsilon \operatorname{tg} \alpha \ll 1$ и $T \ll 1$, из (2.2) получаем уравнение

$$(2.3) \quad \frac{\partial \varphi}{\partial t} + 3(1 + \varphi)^2 \frac{\partial \varphi}{\partial x} + \varepsilon \left(\frac{6}{5} \operatorname{Re} - \operatorname{tg} \alpha \right) \frac{\partial^2 \varphi}{\partial x^2} + \frac{1}{3} T \frac{\partial^4 \varphi}{\partial x^4} = 0,$$

переходящее в хорошо известное, если пренебречь в нем членами порядка φ^3 . Очевидно, что последнее адекватно, $(\varepsilon \operatorname{Re})^2 \ll \varphi \ll (\varepsilon \operatorname{Re})^{1/2}$. При нарушении первого неравенства наряду с членами порядка φ^2 надо учитывать и опущенные в (2.1)–(2.3) члены порядка $\varepsilon^2 \varphi$, а при нарушении второго неравенства в (2.3) нельзя пренебрегать членами $\sim \varphi^3$.

3. Стационарный волновой режим. Для упрощения рассматриваем стационарные бегущие волны только при $\operatorname{tg} \alpha \ll 1$, $T \ll \varepsilon$. Как хорошо

известно [12] (но не всегда учитывается в исследованиях волновых течений пленки), при анализе близкого к гармоническому волнового режима с точностью до членов порядка квадрата амплитуды основной гармоники в эволюционном уравнении нужно оставлять члены вплоть до третьего порядка по амплитуде. Поэтому используем уравнение в форме (2.3). Выбирая продольный масштаб тоже равным h_0 ($\varepsilon = 1$), перепишем (2.3) в виде

$$(3.1) \quad \frac{\partial \varphi}{\partial t} + 3(1 + \varphi)^2 \frac{\partial \varphi}{\partial x} + A \frac{\partial^2 \varphi}{\partial x^2} + B \frac{\partial^4 \varphi}{\partial x^4} = 0, \quad A = \frac{\varepsilon}{5} \operatorname{Re} - \operatorname{tg} \alpha, \quad B = \frac{We}{\cos \alpha}.$$

Если в системе устанавливается стационарный периодический режим, характеризуемый длиной волны λ , то справедливо представление

$$(3.2) \quad \varphi = \sum_{n=-\infty}^{\infty} \Phi_n e^{in(\omega t - kx)}, \quad \omega = \Omega - i\gamma, \quad k = 2\pi \frac{h_0}{\lambda},$$

причем k , Ω и γ действительны, а условие действительности φ дает $\Phi_{-n} = \Phi_n^*$, где звездочка означает комплексное сопряжение. Ограничиваясь членами порядка $q = \Phi_1 \Phi_{-1} = |\Phi_1|^2$, учитываем в (3.2) только гармоники с $|n| \leq 2$. Из (3.1), (3.2) получаем

$$(3.3) \quad [i(\omega - 3k) + Bk^4 - Ak^2] \Phi_1 - 6ik\Phi_0\Phi_1 - 6ik\Phi_{-1}\Phi_2 - 3ik\Phi_{-1}\Phi_1^2 = 0, \\ [i(\omega - 3k) + 8Bk^4 - 2Ak^2] \Phi_2 - 3ik\Phi_1^2 = 0.$$

Отсюда следует

$$(3.4) \quad i(\omega - 3k) + Bk^4 - Ak^2 + \left[\frac{18k^2}{i(\omega - 3k) + 8Bk^4 - 2Ak^2} - 3ik \right] q - 6ik\Phi_0 = 0.$$

Последнее уравнение определяет ω (а следовательно, Ω и γ) как функцию безразмерного волнового числа k и квадрата амплитуды q . При $q \rightarrow 0$ из (3.4) имеем знакомое дисперсионное соотношение, следующее из линейной теории (используем $\Phi_0 \sim q$). В рассматриваемом случае, учитывая малость q , запишем $\Omega = \Omega_1(k) + \Omega_2(k)q$, $\gamma = \Gamma_1(k) + \Gamma_2(k)q$.

Стационарному режиму отвечает, очевидно, равный нулю инкремент нарастания колебаний; отсюда следует первое уравнение $\gamma = 0$ для двух неизвестных k и q . Второе уравнение получим из требования, чтобы это значение соответствовало максимуму значения γ , рассматриваемого как функция k при фиксированном q [12]. Это требование эквивалентно также условию максимальности q , рассматриваемого как функция k . Таким образом, имеем два уравнения, определяющие k и q : $\Gamma_1(k) + \Gamma_2(k)q = 0$, $d\Gamma_1(k)/dk + d\Gamma_2(k)q/dk = 0$.

Вычисления можно упростить, заметив, что значение Ω слабо отличается от значения $\Omega_0 = 3k$, получающегося из линейной теории. Это позволяет пренебречь величиной $i(\Omega - 3k)$ в члене в (3.4), пропорциональном q , так что получаем с принятой точностью

$$\Gamma_1(k) = Ak^2 - Bk^4, \quad \Gamma_2(k) = 18(A - 7Bk^2)^{-1},$$

и уравнения для k и q приобретают вид

$$(3.5) \quad q = (k^2/18)(A - Bk^2)(7Bk^2 - A), \\ (A - 2Bk^2)(7Bk^2 - A) + 7Bk^2(A - Bk^2) = 0.$$

Решение второго уравнения в (3.5) имеет вид

$$(3.6) \quad k = \left(\frac{16 + \sqrt{172} A}{42} \frac{A}{B} \right)^{1/2} \approx 0,833 \left(\frac{A}{B} \right)^{1/2},$$

поэтому квадрат амплитуды

$$(3.7) \quad q \approx 0,046A^3/B.$$

Полагая $\Phi_1 = \sqrt{q}$, что всегда можно сделать за счет соответствующего выбора начала отсчета времени или продольной координаты, из второго уравнения (3.3) получаем выражение для Φ_2 . Величину Φ_0 определяем из условия, чтобы безразмерный расход жидкости в пленке и при наличии волн был равен своему заданному значению (единице в переменных (1.1)). В результате с прежней точностью с учетом (3.6), (3.7) получаем

$$(3.8) \quad \Phi_0 \approx -2q, \quad \Phi_2 \approx 0,935B^{1/2}qi/A^{3/2} \approx 0,043A^{3/2}i/B^{1/2}.$$

Поэтому скорость волны, согласно (3.4), (3.8), имеет вид

$$(3.9) \quad c = \Omega/k = 3(1 - 3q) \approx 3(1 - 0,138A^3/B),$$

а величина φ записывается в следующей окончательной форме:

$$\varphi \approx -0,092 \frac{A^3}{B} + \\ + 0,429 \frac{A^{3/2}}{B^{1/2}} \cos k(x - ct) + 0,086 \frac{A^{3/2}}{B^{1/2}} \sin 2k(x - ct),$$

причем k и c определены в (3.6), (3.9).

Отметим, что k из (3.6) существенно отличается от значения $k_0 = (A/2B)^{1/2} \approx 0,707(A/B)^{1/2}$, следующего для волн максимального роста из линейной теории. Условие неустойчивости неволнового ламинарного режима имеет вид $A > 0$. При его выполнении реализуется «мягкий» тип нарушения устойчивости: с увеличением «надкритичности» A величина q монотонно увеличивается от нуля [12, 13]. Рассмотренный стационарный волновой режим оказывается полностью определенным в отличие, например, от результатов в [1, 2].

Условия $\varepsilon \ll 1$ и $q^{1/2} \ll 1$ имеют соответственно вид $(A/B)^{1/2} \ll 2\pi \sim 10^{1/2} - 10$ и $A(A/B)^{1/2} \ll 10^{1/2} - 10$. Условие $\varepsilon \leq q$, позволяющее (при $Re \sim 1$) пренебрегать всеми членами, кроме линейных в пропорциональной ε части уравнения (2.3), преобразуется к форме $A^3/B \geq (A/B)^{1/2}$, т. е. $A^{5/2} \geq B^{1/2}$. Если при малой надкритичности A параметр B намного больше A^5 (как это должно быть для жидкостей с большим поверхностным натяжением или в условиях пониженной гравитации), следует учитывать и квадратичные по φ члены в указанной части. В заключение заметим, что попытки (см., например, [11, 14]) получить из анализа уравнения типа (3.1) коэффициенты для высших гармоник в (3.2) не имеют смысла, так как это равнозначно превышению точности указанного уравнения.

Поступила 22 XII 1981

ЛИТЕРАТУРА

1. Капица П. Л. Волновое течение тонких слоев вязкой жидкости.— ЖЭТФ, 1948, т. 18, вып. 1.
2. Шкадов В. Я. Волновые режимы течения тонкого слоя жидкости под действием силы тяжести.— Изв. АН СССР. МЖГ, 1967, № 1.
3. Lee J. Kapitsa's method of film flow description.— Chem. Engng Sci., 1969, vol. 24, N 8.
4. Накоряков В. Е., Шрейбер И. Р. Волны на поверхности тонкого слоя вязкой жидкости.— ПМТФ, 1973, № 2.
5. Алексеенко С. В., Накоряков В. Е., Покусаев Б. Г. Волнообразование при течении пленки жидкости по вертикальной стенке.— ПМТФ, 1979, № 6.
6. Накоряков В. Е., Алексеенко С. В. Волны на наклонно стекающей пленке жидкости.— В кн.: Волновые процессы в двухфазных средах. Новосибирск: изд. ИТФ СО АН СССР, 1980.
7. Roskes G. J. Three-dimensional long waves on a liquid film.— Phys. Fluids, 1970, vol. 13, N 6.
8. Lin S. P. Finite-amplitude side-band stability of a viscous film.— J. Fluid Mech., 1974, vol. 63, pt 3.
9. Иванский А. П. О нелинейных волнах на вертикальной пленке жидкости.— ПМТФ, 1980, № 2.
10. Непомнящий А. А. Устойчивость волновых режимов в пленке, стекающей по наклонной плоскости.— Изв. АН СССР. МЖГ, 1974, № 3.

11. Цвелодуб О. Ю. Стационарные бегущие волны на вертикальной пленке жидкости. — Изв. АН СССР. МЖГ, 1980, № 4.
12. Пономаренко Ю. Б. Об одном виде стационарного движения в гидродинамике. — ПММ, 1964, т. 28, вып. 4.
13. Ландау Л. Д., Лифшиц Е. М. Механика сплошных сред. М.: Гостехтеориздат, 1954.
14. Цвелодуб О. Ю. Стационарные бегущие волны на вертикальной пленке жидкости. — В кн.: Волновые процессы в двухфазных средах. Новосибирск: изд. ИТФ СО АН СССР, 1980.

УДК 532.517.4

ЭКСПЕРИМЕНТАЛЬНОЕ ИССЛЕДОВАНИЕ ДВИЖЕНИЯ ВСПЛЫВАЮЩИХ ВИХРЕВЫХ КОЛЕЦ

Б. И. Заславский, И. М. Сотников

(Москва)

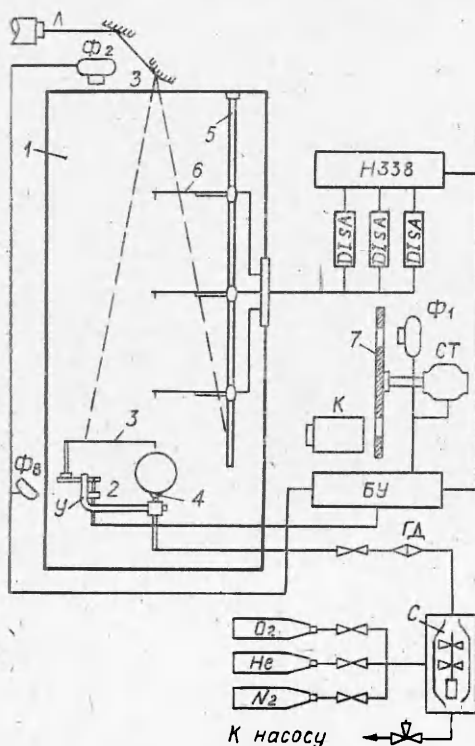
Экспериментальное изучение динамики и внутренней структуры всплывающих вихрей-термиков начато еще в 50-х годах. Работы зарубежных ученых обобщены в [1]. В отечественной литературе вопросы, связанные с движением термиков, обсуждались в [2—5]. Экспериментальные данные, полученные как в первоначальных, так и в более поздних работах, не охватывают многих аспектов рассматриваемых явлений и в некоторых случаях противоречат друг другу. Цель данных исследований — изучить с возможно большей полнотой движение термиков при различных значениях начального дефицита веса. В предлагаемой работе приводятся описание установки и результаты проведенных на ней опытов.

1. Установка представлена на фиг. 1. В ее состав входят: герметичный бассейн 1 размерами $1,2 \times 1,2 \times 5$ м³ с прозрачными боковыми стенками; устройство (У) для получения термиков; пневматическая и измерительная системы. В состав последней входят: термоанемометры (DISA), кино-(К) и фотокамеры, стробоскоп, а также аппаратура для визуализации картины движения термиков.

Устройство для получения термика состоит из патрубка с воронкообразным наконечником 4 для выдувания мыльного пузыря и пускового механизма, предназначенного для разрушения его оболочки.

Патрубок резиновым шлангом соединен с генератором дыма (Г_д) и далее со смесителем (С), куда из баллонов подавались гелий, азот, кислород. Парциальные давления каждого газа в смесителе измерялись с помощью манометра МВП-2,5, что позволяло определять плотность смеси с относительной погрешностью менее 1%.

Варьирование плотности в процессе исследований проводилось путем изменения долей гелия и азота. Доля кислорода во всех опытах была равна 2,5% по объему. Он добавлялся для подкрашивания табачным дымом подаваемой в мыльный пузырь смеси. Малое количество кислорода обеспечивало малую задымленность и, следовательно, небольшие относительные ошибки при окончательном определении начальной плотности термика.



Ф и г. 1